

22 Атом гелия

Первым примером многоэлектронной системы в таблице Менделеева является атом гелия. Мы познакомимся с двумя принципиальными отличиями гелия от атома водорода. В формировании энергетической структуры атома гелия важную роль играет принцип Паули. Обменное взаимодействие двух электронов гелия приводит к своеобразному разделению термов на «парагелий» и «ортогелий». Кроме того, в двухэлектронной системе возможно одновременное возбуждение сразу обоих электронов с последующим самопроизвольным распадом на ион НеII и свободный электрон. Такое состояние атома называют «автоионизационным».

В отличие от чисто кулоновского поля, уравнение Шредингера для атома гелия не имеет аналитического решения, и мы воспользуемся методом последовательных приближений.

22.1 Волновые функции нулевого приближения

Запишем уравнение Шредингера для двухэлектронной системы:

$$\Delta\psi + \frac{2m}{\hbar^2}(E - U)\psi = 0.$$

Пространственными аргументами волновой функции являются радиус-векторы \mathbf{r}_1 , \mathbf{r}_2 двух электронов: $\psi = \psi(\mathbf{r}_1, \mathbf{r}_2)$. Потенциальная энергия U складывается из трёх частей:

$$U = U_1 + U_2 + U_{12},$$

где

$$U_1 = -\frac{e^2}{r_1}, \quad U_2 = -\frac{e^2}{r_2}, \quad U_{12} = \frac{e^2}{r_{12}}.$$

Здесь $\mathbf{r}_{12} = \mathbf{r}_1 - \mathbf{r}_2$ (см.рис.22.1). Введём обозначение:

$$\psi(1, 2) = \psi(\mathbf{r}_1, \mathbf{r}_2).$$

Оператор Лапласа представляет собой сумму двух слагаемых, каждое из которых действует только на свои координаты:

$$\begin{aligned}\Delta &= \Delta_1 + \Delta_2, \\ \Delta_1 &= \Delta_{r_1} + \frac{1}{r_1^2} \Delta_{\theta_1, \varphi_1}, \\ \Delta_2 &= \Delta_{r_2} + \frac{1}{r_2^2} \Delta_{\theta_2, \varphi_2}.\end{aligned}$$

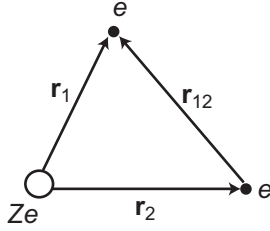


Рис. 22.1. Кулоновское взаимодействие электронов и ядра.

Мы воспользовались обозначениями (16.2.5) для радиальной и угловой части оператора Лапласа. При условии аддитивности независимых гамильтонианов, волновую функцию можно представить в следующем виде:

$$\psi(1,2) \equiv \psi_1\psi_2 = \psi(\mathbf{r}_1)\psi(\mathbf{r}_2).$$

Подставим волновую функцию в таком виде в уравнение Шредингера и учтём, что каждый оператор Лапласа действует только на функцию, зависящую от своих координат. Тогда получим

$$\psi_2\Delta_1\psi_1 + \psi_1\Delta_2\psi_2 + \frac{2m}{\hbar^2}(E - U_1 - U_2 - U_{12})\psi_1\psi_2 = 0.$$

Поделим это выражение на $\psi_1\psi_2$:

$$\frac{\Delta_1\psi_1}{\psi_1} + \frac{\Delta_2\psi_2}{\psi_2} + \frac{2m}{\hbar^2}(E - U_1 - U_2 - U_{12}) = 0.$$

Объединим величины, зависящие от одной и той же координаты и умножим уравнение на $\frac{\hbar^2}{2m}$:

$$\left(\frac{\hbar^2}{2m}\frac{\Delta_1\psi_1}{\psi_1} - U_1\right) + \left(\frac{\hbar^2}{2m}\frac{\Delta_2\psi_2}{\psi_2} - U_2\right) = -E + U_{12}.$$

В нулевом приближении кулоновскую энергию взаимодействия электронов U_{12} положим равной нулю:

$$\underbrace{\left(\frac{\hbar^2}{2m}\frac{\Delta_1\psi_1}{\psi_1} - U_1(\mathbf{r}_1)\right)}_{-E_1} + \underbrace{\left(\frac{\hbar^2}{2m}\frac{\Delta_2\psi_2}{\psi_2} - U_2(\mathbf{r}_2)\right)}_{-E_2} = -E.$$

Теперь в правой части уравнения стоит число E с размерностью энергии, а в каждой из левых скобок — функции только одной переменной (\mathbf{r}_1 , либо \mathbf{r}_2). В силу независимости координат электронов каждая из скобок должна сводиться к числу. Числа в скобках мы обозначили « $-E_1$ » и

« $-E_2$ ». Получается два уравнения, в каждом из которых присутствуют координаты только одной из частиц:

$$\Delta_1\psi_1 + \frac{2m}{\hbar^2}(E_1 - U_1)\psi_1 = 0 \quad (22.1a)$$

$$\Delta_2\psi_2 + \frac{2m}{\hbar^2}(E_2 - U_2)\psi_2 = 0. \quad (22.1b)$$

Константы разделения E_1 и E_2 в сумме дают энергию атома:

$$E_1 + E_2 = E. \quad (22.2)$$

Итак, в нулевом приближении задача об атоме гелия свелась к двум задачам об атоме водорода — в отдельности для каждого электрона. Это не удивительно, так как мы полностью пренебрегли взаимодействием электронов, положив U_{12} равной нулю.

Отметим, что такое приближение справедливо далеко не всегда. Например, в атоме гелия взаимодействие электронов сравнимо по величине с их потенциальной энергией в поле ядра. Но рассматриваемое приближение становится достаточно точным при больших значениях заряда ядра Z , так как U_1 и U_2 пропорциональны Z , а U_{12} от Z не зависит.

Запишем собственные значения энергии нулевого приближения:

$$E_1 \equiv E_i = -\frac{\text{Ry}}{n_i^2} \quad (22.3a)$$

$$E_2 \equiv E_k = -\frac{\text{Ry}}{n_k^2}, \quad (22.3b)$$

где n_i, n_k — значения главного квантового числа для каждого электрона в отдельности. Им соответствуют волновые функции

$$\psi_1 \equiv \psi_i = R_{n_i l_i}(r_1)Y_{l_i m_i}(\theta_1, \varphi_1), \quad (22.4a)$$

$$\psi_2 \equiv \psi_k = R_{n_k l_k}(r_2)Y_{l_k m_k}(\theta_2, \varphi_2). \quad (22.4b)$$

Здесь i и k представляют независимо выбранные пары из набора $1s, 2s, 2p, 3s, 3p, 3d\dots$ с соответствующими магнитными квантовыми числами.

22.2 Учёт взаимодействия электронов

Теперь в рамках теории возмущений учтём энергию кулоновского взаимодействия электронов. Ещё раз следует оговориться, что величина U_{12} , которую мы формально считаем малой, у атома гелия может быть сопоставима с U_1 и U_2 . Поэтому в данном случае речь идёт, скорее, не о количественных расчётах, а о качественном анализе *обменного взаимодействия*, обусловленного тождественностью электронов в атоме.

В разделе 18.5 мы уже вычисляли малую поправку к энергетическому уровню. Она равна среднему значению возмущающего потенциала

$\langle U_{12} \rangle$, вычисленного с волновыми функциями нулевого приближения (в данном случае — симметричной или антисимметричной):

$$\Delta E = \langle U_{12} \rangle = \int \psi_{S,A}^*(1,2) U_{12} \psi_{S,A}(1,2) d\mathbf{r}.$$

Здесь $d\mathbf{r} = d^3\mathbf{r}_1 d^3\mathbf{r}_2$. Подставляя сюда формулы (21.17) для $\psi_{S,A}(1,2)$ получим следующее выражение для поправки:

$$\begin{aligned} \Delta E &= \int \left[\frac{1}{\sqrt{2}} (\psi_{ik}^* \pm \psi_{ki}^*) \right] U_{12} \left[\frac{1}{\sqrt{2}} (\psi_{ik}^* \pm \psi_{ki}^*) \right] d\mathbf{r} = \\ &= \frac{1}{2} (I_1 + I_2 \pm I_3 \pm I_4), \end{aligned} \quad (22.5a)$$

где введены обозначения

$$I_1 = \int \psi_{ik}^* U_{12} \psi_{ik} d\mathbf{r} = \int \psi_i^*(\mathbf{r}_1) \psi_k^*(\mathbf{r}_2) \frac{e^2}{r_{12}} \psi_i(\mathbf{r}_1) \psi_k(\mathbf{r}_2) d\mathbf{r}, \quad (22.5b)$$

$$I_2 = \int \psi_{ki}^* U_{12} \psi_{ki} d\mathbf{r} = \int \psi_k^*(\mathbf{r}_1) \psi_i^*(\mathbf{r}_2) \frac{e^2}{r_{12}} \psi_k(\mathbf{r}_1) \psi_i(\mathbf{r}_2) d\mathbf{r}, \quad (22.5c)$$

$$I_3 = \int \psi_{ik}^* U_{12} \psi_{ki} d\mathbf{r} = \int \psi_i^*(\mathbf{r}_1) \psi_k^*(\mathbf{r}_2) \frac{e^2}{r_{12}} \psi_k(\mathbf{r}_1) \psi_i(\mathbf{r}_2) d\mathbf{r}, \quad (22.5d)$$

$$I_4 = \int \psi_{ki}^* U_{12} \psi_{ik} d\mathbf{r} = \int \psi_k^*(\mathbf{r}_1) \psi_i^*(\mathbf{r}_2) \frac{e^2}{r_{12}} \psi_i(\mathbf{r}_1) \psi_k(\mathbf{r}_2) d\mathbf{r}. \quad (22.5e)$$

Если в подынтегральной функции (22.5b) выполнить замену $\mathbf{r}_1 \leftrightarrow \mathbf{r}_2$, то получится подынтегральная функция (22.5c), следовательно, $I_1 = I_2$. Обозначим их значения как C :

$$I_1 = I_2 = C.$$

Аналогично, сопоставляя (22.5d) и (22.5e), убеждаемся в равенстве $I_3 = I_4$. Эти два интеграла обозначим A :

$$I_3 = I_4 = A.$$

Итак, поправка к энергии системы равна

$$\Delta E = C \pm A.$$

Здесь первое слагаемое называют кулоновской энергией, а второе — обменной. Именно обменное взаимодействие снимает вырождение, в то время как кулоновская энергия приводит только к сдвигу уровня. Сказанное иллюстрируется рис.22.2.

Раскроем физический смысл обеих поправок. С этой целью кулоновскую энергию запишем в следующей форме:

$$C = I_1 = \int [e\psi_i^*(1)\psi_i(1) d\mathbf{r}_1] \frac{1}{r_{12}} [e\psi_k^*(2)\psi_k(2) d\mathbf{r}_2].$$

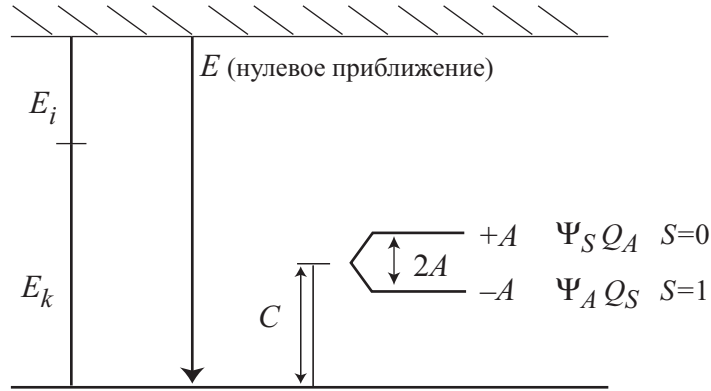


Рис. 22.2. Обменное взаимодействие снимает вырождение.

В квадратных скобках стоят заряды, находящиеся в объёмах $d^3\mathbf{r}_1$ и $d^3\mathbf{r}_2$:

$$d\rho_i = e|\psi_i(1)|^2 d\mathbf{r}_1,$$

$$d\rho_k = e|\psi_k(2)|^2 d\mathbf{r}_2,$$

$$C = \int d\rho_i(1) \frac{1}{r_{12}} d\rho_k(2).$$

Таким образом, здесь мы имеем дело с обычным кулоновским взаимодействием распределённых зарядов, что схематически изображено на рис. 22.3. Аналогичным образом попытаемся выразить и обменную энергию:

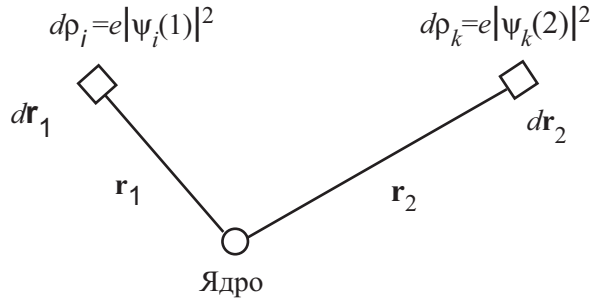


Рис. 22.3. Кулоновское взаимодействие зарядов.

гию:

$$A = \int [e\psi_i^*(1)\psi_k(1) d\mathbf{r}_1] \frac{1}{r_{12}} [e\psi_k^*(2)\psi_i(2) d\mathbf{r}_2].$$

Получается, что в объёмах $d\mathbf{r}_1$ и $d\mathbf{r}_2$ находятся заряды со «смешанной» плотностью:

$$A = \int d\rho_{ik}(1) \frac{1}{r_{12}} d\rho_{ki}(2),$$

то есть, электроны в состояниях i и k как бы меняются местами. Именно

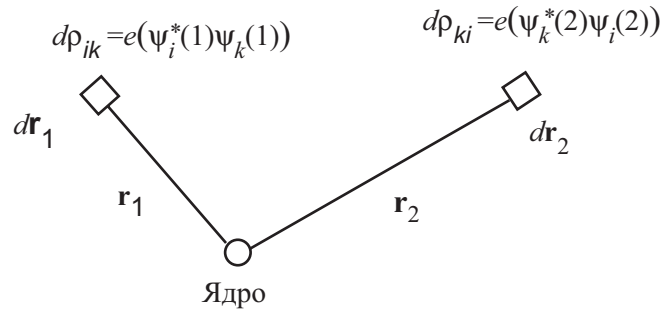


Рис. 22.4. Обменное взаимодействие.

по этой причине величину A назвали энергией обменного взаимодействия. Наглядное представление о нём можно получить из рис. 22.4.

Модели обменного взаимодействия в классической механике

Хотя обменное взаимодействие имеет чисто квантовую природу, тем не менее, существуют его классические аналоги. На рис. 22.5 изобра-

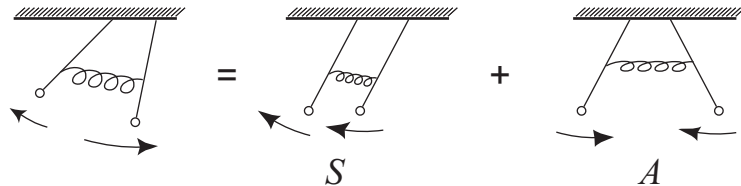


Рис. 22.5. Связанные маятники.

жены колебания двух связанных маятников с одинаковыми значениями всех параметров. В такой системе энергия мигрирует из одного маятника в другой. Возникающие сложные колебания можно разложить на колебания двух типов: симметричные, когда оба маятника движутся в одну сторону, и антисимметричные, когда направления их скоростей противоположны.

Другой пример: колебания токов на рис. 22.6 в двух одинаковых LC -контурах, связанных взаимной индукцией M . Их можно представить как суперпозицию симметричных и антисимметричных колебаний с частотами

$$\omega_{S,A} = \omega_{\pm} = \frac{\omega_0}{\sqrt{1 \pm M/L}}.$$

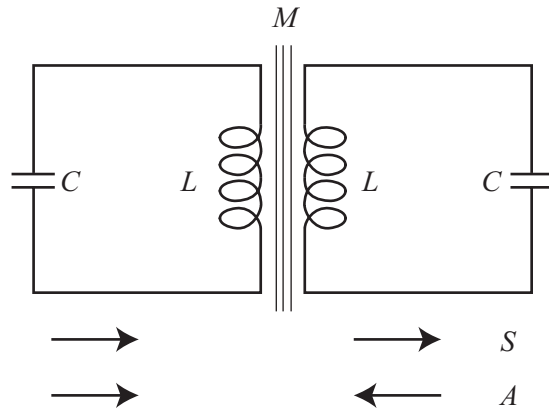


Рис. 22.6. Объединённые контуры.

Обменное взаимодействие в нестационарной задаче

Мы лучше поймём природу обменного взаимодействия в квантовой механике, если рассмотрим нестационарное уравнение Шредингера:

$$i\hbar \frac{\partial F}{\partial t} = EF.$$

Из девятой главы мы знаем, что при не зависящем от времени гамильтониане \hat{H} решение уравнения Шредингера можно выразить в виде:

$$F = C \exp \left(-\frac{i}{\hbar} Et \right),$$

где энергия E есть собственное значение стационарного уравнения (9.2б). Пусть существуют два состояния с одинаковой энергией. Без учёта обменного взаимодействия в правую часть уравнения для каждой функции входит только она сама:

$$i\hbar \frac{\partial F_1}{\partial t} = EF_1,$$

$$i\hbar \frac{\partial F_2}{\partial t} = EF_2.$$

Иными словами, состояния «1» и «2» эволюционируют независимо друг от друга.

Учтём обменное взаимодействие. Теперь в правую часть уравнения для волновой функции одного состояния входит функция другого состояния:

$$i\hbar \frac{\partial F_1}{\partial t} = EF_1 + AF_2,$$

$$i\hbar \frac{\partial F_2}{\partial t} = EF_2 + AF_1.$$

Таким образом, имеет место взаимодействие состояний. Сложим и вычтем последние два уравнения:

$$i\hbar \frac{\partial(F_1 + F_2)}{\partial t} = (E + A)(F_1 + F_2),$$

$$i\hbar \frac{\partial(F_1 - F_2)}{\partial t} = (E - A)(F_1 - F_2).$$

Видно, что верхнее выражение представляет собой уравнение для симметричной комбинации $F_S = F_1 + F_2$, а нижнее – для антисимметричной $F_A = F_1 - F_2$:

$$i\hbar \frac{\partial F_S}{\partial t} = (E + A)F_S,$$

$$i\hbar \frac{\partial F_A}{\partial t} = (E - A)F_A.$$

Запишем решение полученной системы уравнений:

$$\begin{aligned} F_S &= a \exp\left(-\frac{i}{\hbar}(E + A)t\right), \\ F_A &= b \exp\left(-\frac{i}{\hbar}(E - A)t\right). \end{aligned}$$

и снова вернёмся к волновым функциям F_1 и F_2 :

$$F_1 = (F_S + F_A)/2 = \exp\left(-\frac{i}{\hbar}Et\right) \times \left[a \exp\left(-\frac{i}{\hbar}At\right) + b \exp\left(\frac{i}{\hbar}At\right) \right],$$

$$F_2 = (F_S - F_A)/2 = \exp\left(-\frac{i}{\hbar}Et\right) \times \left[a \exp\left(-\frac{i}{\hbar}At\right) - b \exp\left(\frac{i}{\hbar}At\right) \right].$$

Пусть в начальный момент времени при $t = 0$ атом находится в состоянии «1»: $F_1 = 1$, а $F_2 = 0$. Тогда из последней системы уравнений следует $a = b = 1$. Подставляя в неё эти значения, выразим сумму и разность экспонент через тригонометрические функции:

$$\begin{aligned} F_1 &= \exp\left(-\frac{i}{\hbar}Et\right) \cos\left(\frac{A}{\hbar}t\right), \\ F_2 &= -i \exp\left(-\frac{i}{\hbar}Et\right) \sin\left(\frac{A}{\hbar}t\right). \end{aligned}$$

Вероятность состояния определяется квадратом модуля волновой функции:

$$\begin{aligned} W_1 &= |F_1|^2 = \cos^2\left(\frac{A}{\hbar}t\right), \\ W_2 &= |F_2|^2 = \sin^2\left(\frac{A}{\hbar}t\right). \end{aligned}$$

На рис.22.7 видно, что плотности вероятности осциллируют с периодом, определяемым величиной обменного взаимодействия. Характерное

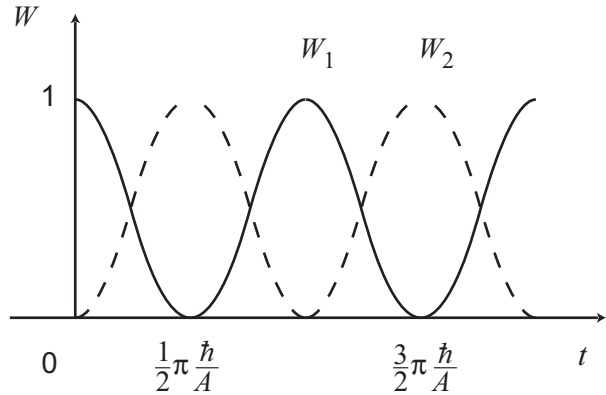


Рис. 22.7. Эволюция вероятности при обменном взаимодействии.

время обмена $\tau \sim \hbar/A$ при энергии взаимодействия порядка нескольких электронвольт составляет величину $\tau \sim 10^{-16} \div 10^{-17}$ с, то есть, сравнимо с атомной единицей времени.

22.3 Метод Слетера

Этот приближённый метод расчета атомных уровней разработан Дж. Слетером в 1930г. Он даёт хороший результат для не очень сложных атомов и, в особенности — для многозарядных ионов. Метод заключается в том, что полная энергия электронной оболочки $E(n_1, n_2)$ складывается из энергий отдельных электронов $E(n_1)$ и $E(n_2)$. Учёт взаимодействия электронов выполняется, как и в случае атомов щелочных элементов, с помощью эффективного заряда атомного остатка $Z_{\text{eff}}^{(i)}$ и экранировочных констант σ_i (для каждого электрона в отдельности). Мы сохраним обозначения, принятые в формуле (20.16) на стр.10:

$$E(n_1, n_2) = E(n_1) + E(n_2) = - \left(\frac{Z_{\text{eff}}^{(1)}}{n_1^*} \right)^2 \text{Ry} - \left(\frac{Z_{\text{eff}}^{(2)}}{n_2^*} \right)^2 \text{Ry},$$

или

$$E(n_1, n_2)/\text{Ry} = - \left(\frac{Z - \sigma_1}{n_1^*} \right)^2 - \left(\frac{Z - \sigma_2}{n_2^*} \right)^2. \quad (22.6)$$

Константы экранирования были определены Слетером на основе полуэмпирических расчётов в водородоподобном приближении с безузловыми радиальными волновыми функциями, которым соответствует максимальное значение орбитального квантового числа: $l=n-1$. Значения эф-

Таблица 22.1. Эффективное квантовое число n^* по Слетеру

n	1	2	3	4	5	5
n^*	1	2	3	3.7	4.0	4.2

фективного квантового числа n^* и константы экранирования для некоторых состояний приведены в двух таблицах. В табл.22.2 экранируемый электрон обозначен i , а экранирующий — k . Возможности метода ил-

Таблица 22.2. Константы экранирования по Слетеру

$k \backslash i$	$1s$	$2s,2p$	$3s,3p$	$3d$	$4s,4p$	$4d,4f$	$5s,5p$
$1s$	0.3	0.85	1	1	1	1	1
$2s,2p$	0	0.35	0.85	1	1	1	1
$3s,3p$	0	0	0.35	1	0.85	1	1
$3d$	0	0	0	0.35	0.85	1	1
$4s,4p$	0	0	0	0	0.35	1	0.85
$4d,4f$	0	0	0	0	0	0.35	0.85
$5s,5p$	0	0	0	0	0	0	0.35

люстрирует табл. 22.3. Во второй строке содержатся значения энергии

Таблица 22.3. Потенциалы ионизации атома углерода и его ионов

Ион, атом	CVI	CV	CIV	CIII	CII	CI
Теория, эВ	490	394	63	43	26	12
Экспер., эВ	489.84	391.98	64.476	47.864	24.376	11.264
Погрешность	0.03%	0.5%	2.2%	10.1%	6.2%	6.1%

основного состояния для атома углерода и его пяти ионов, вычисленные методом Слетера с использованием констант экранирования из таблицы. В третьей строке — экспериментальные значения энергии. Как мы видим, расхождение не превышает десяти процентов.

Продемонстрируем применение метода Слетера для расчёта энергии ионизации из основного состояния атома гелия. В основном состоянии $n_1=n_2=1$ постоянная экранирования σ_{1s} равна 0.3, откуда следует:

$$E(1s^2) = -2(Z - 0.3)^2 Ry.$$

Тогда для атома Не ($Z = 2$) получим, что $E(1s^2) = -5.78 Ry = -78.6$ эВ. При отрыве одного электрона получим водородоподобный ион гелия НеII. Схематически энергетические границы систем уровней НеI и НеII

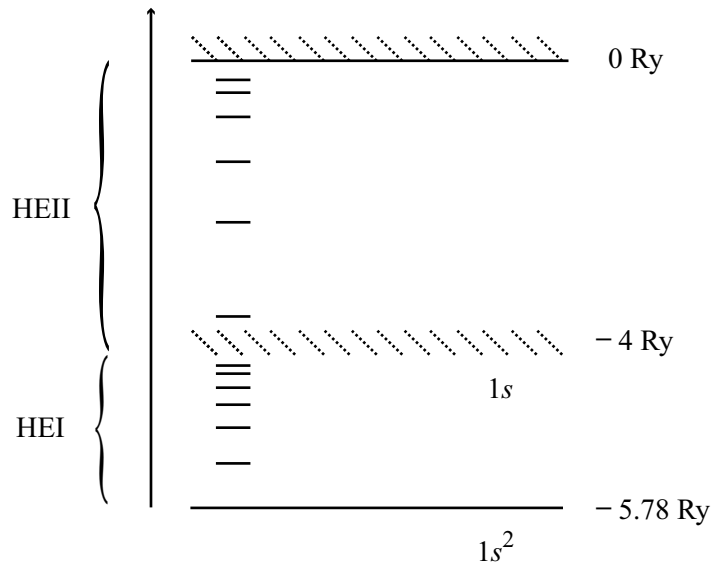


Рис. 22.8. Границы энергетических уровней HeI и HeII

изображены на рис. 22.8. Когда один из электронов атома гелия выходит на границу ионизации, то получается водородоподобный ион HeII. Энергия его основного состояния равна

$$E(1s, \infty l) = -Z^2 \text{Ry} = -4 \text{Ry} = -54.4 \text{ эВ.}$$

Потенциал ионизации атома гелия I_{HeI} равен разности энергий иона и атома в основном состоянии:

$$I_{\text{HeI}} = E(1s, \infty l) - E(1s^2) = 24.2 \text{ эВ.}$$

Эта величина всего на 1.5% отличается от экспериментального значения, равного 24.586 эВ. Таким образом, метод Слете́ра сочетает простоту расчёта с приемлемой точностью результата.

22.4 Диаграмма Гротриана для HeI

Степень симметрии атома гелия значительно ниже, чем у водорода, поэтому его спектр содержит гораздо больше линий. На положение уровней гелия влияют все взаимодействия, рассмотренные в главе 18 для водорода — кулоновское, спин-орбитальное и зависимость массы электрона от скорости; к ним присоединяются свойства многоэлектронных систем: взаимодействия «спин–спин», «спин–чужая орбита» и некоторые другие.

Дальнейшее изложение проведём в несколько этапов: сначала с минимальной степенью подробности — средняя энергия электронной конфигурации, затем — термы и, наконец — тонкую структуру, или, собственно, уровни.

Начнём с состояний, где возбуждён только один из двух электронов. На рис.22.9 приведено расположение электронных конфигураций атома гелия $1s\ n l$. Для сравнения, как обычно, указаны уровни $n=2, 3$ и 4 атома водорода. Как и в случае щелочных элементов, в силу неполного экра-

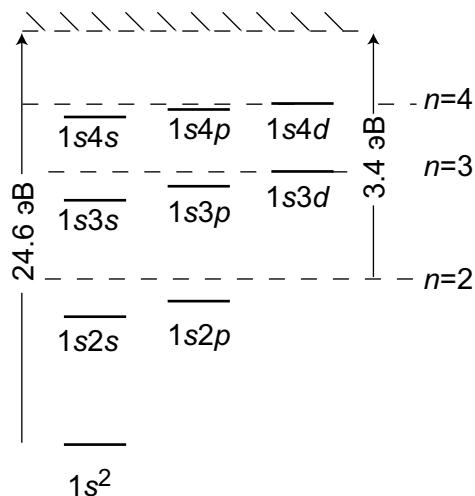


Рис. 22.9. Электронные конфигурации атома гелия

нирования ядра электроном $1s$ уровни гелия в располагаются немноги ниже водородных, причём эффект наиболее заметен у s -состояний и быстро уменьшается с ростом орбитального момента.

Ранее методом Слетеера мы установили, что энергия основного состояния атома гелия $1s^2$ равна 24.6 эВ. Водородоподобный уровень $n=2$ лежит ниже границы ионизации на величину $Ry/2^2=3.4$ эВ. Следовательно, энергия возбуждения даже самых низких конфигураций составляет около 20 эВ, что соответствует длине волны перехода около 600 Å. Действительно, у гелия есть резонансный переход $2^1S_0 - 2^1P_1$ с длиной волны $\lambda=584$ Å, он приведён на рис.22.10. Таким образом, гелий в ещё более сильной степени повторяет свойство атома водорода: все его возбуждённые состояния также лежат в относительно узком диапазоне энергий вблизи границы ионизации.

Теперь учтём расщепление уровней, вызванное обменным взаимодействием. Схема рис.22.9 распадается на две: синглеты и триплеты, изображённые на рис.22.10, соответственно, слева и справа. В силу правила отбора (21.14), переходы между синглетными и триплетными уровнями запрещены.

Так как в нашем случае один электрон находится в заранее известном

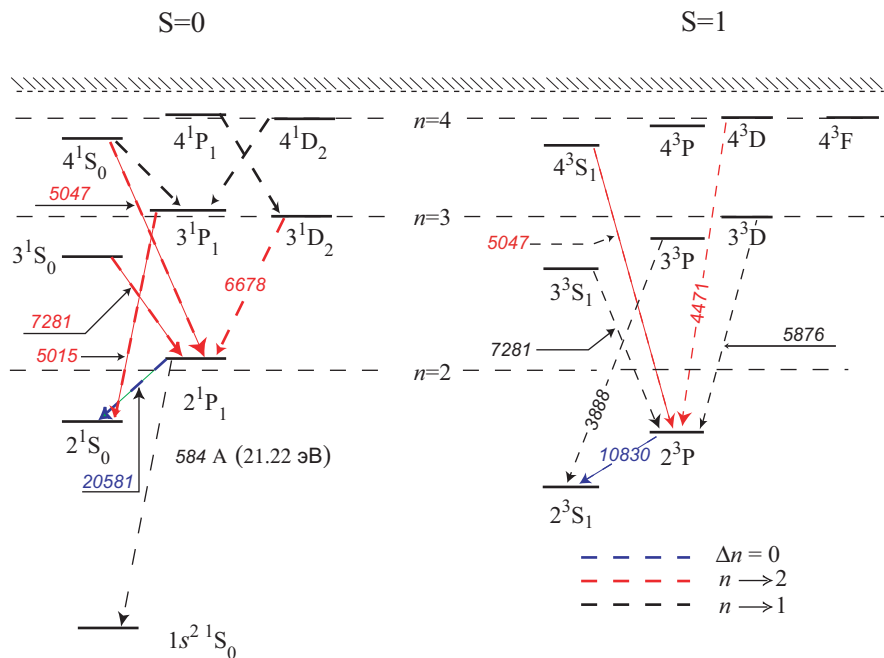


Рис. 22.10. Синглетные и триплетные переходы гелия

состоянии $1s$, вследствие чего суммарный орбитальный момент L просто равен моменту $l_2=l$ второго электрона, то введём краткое обозначение для термов: $n_2 \not\propto L$. Следует отметить, что терм 2^1P расположен немножко выше уровня с $n=2$ для водорода. Этот эффект связан с наличием взаимодействия между спином одного электрона и орбитальным моментом другого.

Линия $\lambda=5876\text{\AA}$, соответствующая переходу 3^3D-2^3P , сыграла большую роль в исследовании гелия. Именно по ней при наблюдении солнечных протуберанцев в 1868 г. был открыт гелий. Ей было присвоено обозначение D_3 . На том этапе развития атомной физики, когда ещё не было представления о спине, считалось, что триплетная и синглетная подсистемы принадлежат различным химическим элементам. Триплеты — ортогелию («настоящему» гелию), а синглеты — парагелий («похожий на», или «как бы» гелий). Позднее было выявлено, что обе подсистемы принадлежат одному элементу.

22.5 Тонкая структура атома гелия

Учёт спин-орбитального взаимодействия приводит к расщеплению терма на уровни. Вычисление полного момента выполняется по общей схеме:

$$\mathbf{J} = \mathbf{L} + \mathbf{S}.$$

При $S=0$ полный момент равен орбитальному, поэтому уровни синглетных термов записываем сразу:

$$^1\text{S}_0, \quad ^1\text{P}_1, \quad ^1\text{D}_2, \quad ^1\text{F}_3, \dots$$

В случае триплетов получаются следующие варианты:

$$^3\text{S}_1, \quad ^3\text{P}_{1,2,3}, \quad ^3\text{D}_{3,2,1}, \quad ^3\text{F}_{4,3,2}, \dots$$

Поясним последнюю строку. При $L=0$ полный момент равен спину и получается уровень $^3\text{S}_1$. В остальных случаях выполняется $S \leq L$, и в согласии с общим правилом число уровней теперь равно мультиплетности, причём J принимает ровно три значения: $L-1$, L и $L+1$.

Переходы между синглетами представляют собой одну линию, поэтому тонкую структуру имеют только триплеты. Рассмотрим переход $^3\text{P} \rightarrow ^3\text{S}$ на рис.22.11. У терма ^3P уровень с $J = 0$ будет низким только

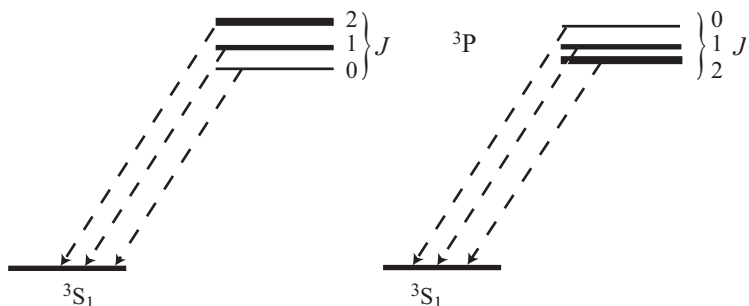


Рис. 22.11. Переходы $^3\text{P} \rightarrow ^3\text{S}$ для многозарядных ионов последовательности гелия (слева) и атома гелия (справа)

для ионов изоэлектронной последовательности гелия с достаточно большими зарядами ядра. У атома гелия наблюдается обращенный порядок уровней. Энергетическая щель между уровнями $J=1$ и $J=2$ в атоме гелия примерно на порядок величины меньше, чем между уровнями $J=0$ и $J=1$, (соответственно, 0.078 см^{-1} и 0.996 см^{-1}), что схематически отображено на правом рисунке. Толщина отрезка, обозначающего уровень, пропорциональна статистическому весу уровня.

22.6 Переходы на нижний уровень в атоме гелия

Среди уровней гелия с главным квантовым числом возбуждённого электрона равным двум есть только один — 2^1P_1 , переход с которого в основное состояние разрешён по каналу электрического дипольного излучения. Именно этот переход в данном случае является резонансным. Хотя метастабильные состояния 2^3S_1 , 2^1S_0 и $2^3P_{0,1,2}$ расположены ниже уровня 1^1P_1 , как это показано на рис. 22.12, но радиационные переходы с них запрещены правилами отбора (21.14) и (21.15).

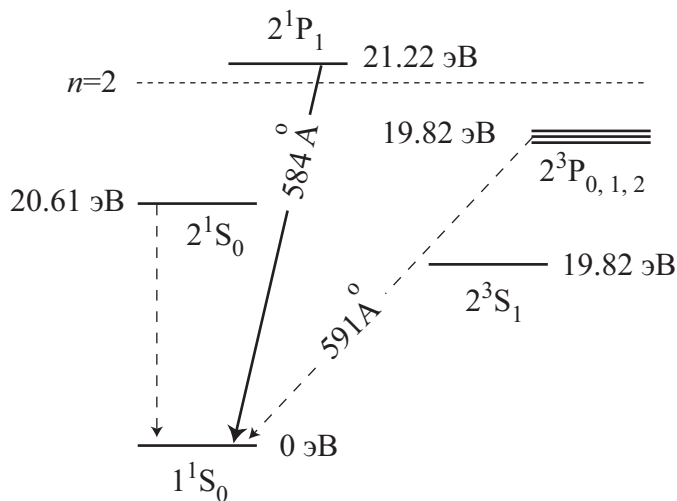


Рис. 22.12. Резонансный и запрещённые переходы в атоме гелия.

Отметим различие в запретах на переходы из состояний 2^1S_0 и 2^3P . В первом случае запрет на одноквантовый переход является абсолютным в силу закона сохранения момента. Ситуация полностью аналогична рассмотренному в разделе 19.6 переходу $2s \rightarrow 1s$ атома водорода: они оба осуществляются путём одновременного излучения двух квантов и имеют непрерывный спектр.

Запрет на интеркомбинационные переходы не является абсолютным. В спектре атома гелия наблюдается слабая линия с длиной волны 591\AA , соответствующая переходу между термами 3P и 1S . Эта линия появилась из-за того, что квантовые числа S и L не являются точными. В применяемой нами модели LS -связи учитывается только электростатическое взаимодействие. Но спин-орбитальное взаимодействие нарушает эту картину сложения моментов. Точными квантовыми числами являются J и четность, а L и S сохраняются лишь приближённо. В силу этого волновая функция триплетного состояния 2^3P содержит примесь синглета 2^1P , за счёт которого и происходит спонтанное излучение в син-

глетное основное состояние ${}^1\text{S}$. Слабая интенсивность линии $2^3\text{P} \rightarrow {}^1\text{S}$ соответствует небольшой величине этой примеси.

22.7 Автоионизационные состояния гелия

Познакомимся ещё с одним свойством гелия как *многоэлектронной* системы. У него возможны так называемые *автоионизационные состояния*, которые получаются при одновременном возбуждении сразу *двух* электронов. Их значения главного и орбитального квантовых чисел обозначим nl и $n'l'$.

Оба электрона остаются *связанными*, так как энергия такой системы отрицательна. Иными словами, энергия двухэлектронного возбуждения меньше потенциала ионизации иона HeII . Но она выше потенциала ионизации атома гелия. Поэтому закон сохранения энергии позволяет самопроизвольный распад системы на свободный электрон и возбуждённый ион гелия, откуда и следует название *автоионизационное состояние*. Оно является как бы промежуточным между атомом гелия и его первым ионом. Система в целом по-прежнему представляет собой нейтральный атом гелия, но уровни двухэлектронного возбуждения попадают в энергетический зазор между двумя пределами ионизации, перекрываясь с уровнями первого иона HeII .

На рис.22.13 представлена схема совмещённой диаграммы Гrotриана для атома HeI и его иона HeII , где в скобках указаны значения главного

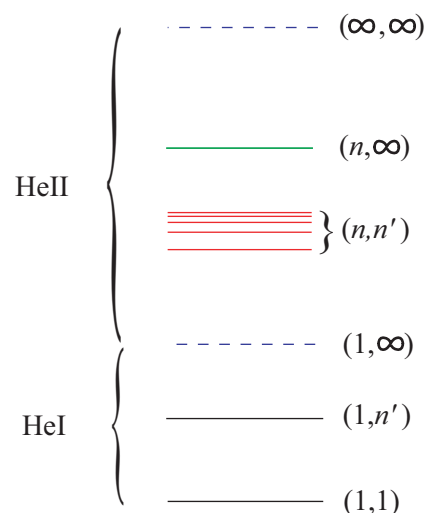


Рис. 22.13. Природа автоионизационных состояний гелия

квантового числа каждого электрона. Так, $(1, 1)$ обозначает основ-

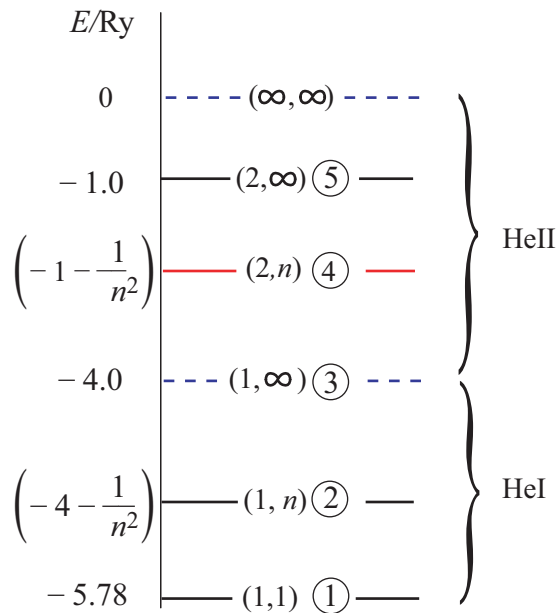


Рис. 22.14. Избранные состояния для расчёта методом Слетера

N	(n_1, n_2)	σ_1	σ_2	$Z_{\text{eff},1}$	$Z_{\text{eff},2}$	E_1/Ry	E_2/Ry	E/Ry
1	(1, 1)	0.3		1.7		-2.89		-5.78
2	(1, n)					-4	$-1/n^2$	$-(4 + 1/n^2)$
3	(1, ∞)					-4	0	-4
4	(2, n)	0	1	2	1	-1	$-1/n^2$	$-(1 + 1/n^2)$
5	(2, ∞)					-1	0	-1

Таблица 22.4. Константы и формулы для рис.22.14

ное состояние атома, $(1, n)$ — состояние, в котором возбуждён один из электронов, а (n', n) — автоионизационное состояние с двумя возбуждёнными электронами. Атоионизационные состояния на рисунке отмечены красным цветом, а синими штриховыми линиями — границы ионизации атома HeI $(1, \infty)$ и его первого иона HeII (∞, ∞) . При неограниченном увеличении главного квантового числа одного из электронов, например, n' , автоионизационные состояния стремятся к положению возбуждённого уровня иона (n, ∞) , который является для них границей ионизации.

Оценим энергию автоионизационных состояний, воспользовавшись методом Слетера (22.6). Выполним расчёты для пяти уровней, обозначенных круглым на рис.22.14. Соответствующие константы и формулы собраны в табл.22.4. Номер N в левой колонке таблицы соответствует числу внутри кругов на рисунке. Уровень ① соответствует основному

состоянию атома гелия, ③ — основному состоянию иона НеII, уровень ⑤ — резонансному уровню НеII, а ② представляет среднее положение термов атома гелия 2^1S , 2^3S и 2^3P .

Уровень двухэлектронного возбуждения атома $(2, n)$ с энергией

$$E(2, n) = - \left(1 + \frac{1}{n^2} \right) \text{Ry}$$

попадает в энергетический зазор между основным и первым возбуждённым уровнями иона:

$$-4\text{Ry} = E(1, \infty) < E(2, n) < E(2, \infty) = -\text{Ry}.$$

Поэтому может произойти самопроизвольный безызлучательный распад автоионизационного состояния в основное состояние иона:

$$(2, n) \rightarrow (1, \infty).$$

Один из электронов со второго уровня переходит в основное состояние, а другой удаляется в континуум, унося с собой избыточную энергию. Вероятность такого процесса в приближении электростатического взаимодействия электронов слабо зависит от заряда ядра и составляет около 10^{14} с, на несколько порядков величины превышая вероятность спонтанного излучения $A \approx 10^8 \text{ c}^{-1}$.

22.8 Коэффициенты Клебша-Гордана для атома гелия

Вернёмся к решению задачи о сложении моментов, а именно, к тому её этапу, когда мы составляем набор всех возможных проекций суммарного момента. В общем виде он представлен в табл.21.1. В таблице содержится много одинаковых проекций, которые мы произвольно приписывали тому или иному значению суммарного момента. Здесь мы уменьшим указанный произвол, воспользовавшись идеей, изложенной в разделе 18.9. Напомним, что волновая функция полного момента J с проекцией M связаны с волновыми функциями $|J_1 M_1\rangle$, $|J_2 M_2\rangle$ соотношением

$$\begin{aligned} \Psi(J_1, J_2, JM) &= \\ &= \sum_{M_1+M_2=M} \sqrt{2J+1} \begin{pmatrix} J_1 & J_2 & J \\ M_1 & M_2 & -M \end{pmatrix} \psi(J_1 M_1) \psi(J_2 M_2) \quad (22.7) \end{aligned}$$

мы воспользовались формулами (18.9.6) и (18.9.8), заменив обозначения волновых функций Φ_{JM} на $\Psi(J_1 J_2 JM)$ и $\Phi_{J_i M_i}$ на $\psi(J_i M_i)$.

Применим общую формулу (22.7) к случаю $J_1=J_2=1$, описывающему терм 3P . Для этого составим расширенную таблицу 22.5, в которой содержится информация не только о значениях проекций, но и волновых

		$\Psi_1(-1)$	$\Psi_1(0)$	$\Psi_1(+1)$
M_1	-1	0	+1	
M_2				
$\Psi_1(-1)$	-1	-2	-1	0
$\Psi_1(0)$	0	-1	0	+1
$\Psi_1(+1)$	+1	0	+1	+2

Таблица 22.5. Проекции момента и волновые функции

функциях, параметрами которых являются числа M_1 , M_2 и M . В ней не повторяются значения проекций $M= \pm 2$, поэтому сразу можно написать

$$\Psi(2, \pm 2) = \psi_1(\pm 1) \psi_2(\pm 1). \quad (22.8)$$

Для проекций $M=0, \pm 1$ связь волновых функций полного момента $\Psi(JM)$ с функциями $\psi_1(M_1)$ и $\psi_2(M_2)$ по формуле (22.7). Результаты расчётов удобно представить в матричном виде:

$$\begin{pmatrix} \Psi(2, \pm 2) \\ \Psi(2, \pm 1) \\ \Psi(1, \pm 1) \\ \Psi(2, 0) \\ \Psi(1, 0) \\ \Psi(0, 0) \end{pmatrix} = \begin{pmatrix} 1 & 0 & 0 & 0 & 0 \\ 0 & \frac{1}{\sqrt{2}} & \frac{1}{\sqrt{2}} & 0 & 0 \\ 0 & \pm \frac{1}{\sqrt{2}} & \mp \frac{1}{\sqrt{2}} & 0 & 0 \\ 0 & 0 & 0 & \frac{1}{\sqrt{6}} & \sqrt{\frac{2}{3}} & \frac{1}{\sqrt{6}} \\ 0 & 0 & 0 & \frac{1}{\sqrt{2}} & 0 & -\frac{1}{\sqrt{2}} \\ 0 & 0 & 0 & \frac{1}{\sqrt{3}} & -\frac{1}{\sqrt{3}} & \frac{1}{\sqrt{3}} \end{pmatrix} \begin{pmatrix} \psi_1(\pm 1) \psi_2(\pm 1) \\ \psi_1(\pm 1) \psi_2(0) \\ \psi_1(0) \psi_2(\pm 1) \\ \psi_1(+1) \psi_2(-1) \\ \psi_1(0) \psi_2(0) \\ \psi_1(-1) \psi_2(+1) \end{pmatrix}$$

Трансформационная матрица имеет блочно-диагональную структуру, причём блоки из отличных от нуля элементов соответствуют трём значениям полного момента: $J=2, 1, 0$. Сумма квадратов элементов матрицы по любой строке и любому столбцу равна единице. Такие матрицы называются *унитарными*. З j -символы, необходимые для построения волновых функций $\Psi(JM)$ вычислялись с помощью следующих формул (их можно найти в упомянутом выше руководстве И.И. Собельмана):

- $J=0, M=0$ — формула (18.9.10).
- $J=1, M=0$:
$$\begin{pmatrix} j & j & 1 \\ m & -m & 0 \end{pmatrix} = (-1)^{j-m} \frac{m}{\sqrt{j(j+1)(2j+1)}},$$

- $J=1, M=1$: $\begin{pmatrix} j & j & 1 \\ m & -m-1 & 1 \end{pmatrix} = (-1)^{j-m} \sqrt{\frac{(j-m)(j+m+1)}{2j(j+1)(2j+1)}},$
- $J=2, M=0$:
$$\begin{aligned} \begin{pmatrix} j & j & 2 \\ m & -m & 0 \end{pmatrix} &= (-1)^{j-m} \frac{\sqrt{2} [3m^2 - j(j+1)]}{\sqrt{(2j-1)2j(j+1)(2j+1)(2j+3)}}, \\ \bullet J=2, M=1 : \begin{pmatrix} j & j & 2 \\ m & -m-1 & 1 \end{pmatrix} &= \\ &= (-1)^{j-m} (1+2m) \sqrt{\frac{6(j-m)(j+m+1)}{(2j-1)2j(2j+1)(2j+2)(2j+3)}}, \\ \bullet J=2, M=2 : \begin{pmatrix} j & j & 2 \\ m & -m-2 & 2 \end{pmatrix} &= \\ &= (-1)^{j-m} \sqrt{\frac{6(j-m-1)(j-m)(j+m+1)(j+m+2)}{(2j-1)2j(2j+1)(2j+2)(2j+3)}}, \end{aligned}$$

Формула:

$$\begin{pmatrix} a & b & c \\ \alpha & \beta & \gamma \end{pmatrix} = (-1)^{a+b+c} \begin{pmatrix} a & b & c \\ -\alpha & -\beta & -\gamma \end{pmatrix}.$$

весьма полезна при расчётах $3j$ -символов с отрицательными значениями проекции полного момента ($M < 0$).